

บทที่ 2

ການສ້າງ

ຕາມຖຸກສົງໄສ fundamental parameter ດວຍເຫັນວ່າຮ່າງຄວາມເຂັ້ມຮັງສືເອກ໌ເຮືອງແລ້ງກັບຄວາມເຂັ້ມຂັ້ນຂອງຮາດູໃນສາրັ້າວ່າງຢ່າງ enhancement effect ສາມາດເພີ້ນໄດ້ດ້ວຍສົມກາຣ (ທອງເຈືອ 1988) ສ້າງຮັບການຟື້ສາຣັ້າວ່າງໜາໄມ່ຈະກັດແລະໄມ່ຄິດ

$$I_i = Q_i \cdot \frac{C_i}{\mu_s^*(E_i)} \quad (1)$$

ເນື້ອ

I_i ດີວ່າ ດວຍເຫັນວ່າຮ່າງແລ້ງຂອງຮາດູ i

Q_i ດີວ່າ ດໍາຄວັງທີ່ຂັ້ນກັບຊູດກາຣົດລອງ ດວຍເຫັນວ່າຮ່າງສືເອກ໌ທົກກະທົບແລະໜິດຂອງຮາດູ i

C_i ດີວ່າ ດວຍເຫັນຂັ້ນຂອງຮາດູ i

$$\mu_s^*(E_i) = \sum_j C_j \mu_j^*(E_i)$$

ແລະ

$$\mu_j^*(E_i) = \mu_j(E_\theta) \csc \varphi_\theta + \mu_j(E_i) \csc \varphi_1$$

ໄດ້ຍື່ງ

$\mu_j(E_\theta), \mu_j(E_i)$ ດີວ່າ ສັນປະລິກອີກາຣົດກລືນເຂີ້ມວລຂອງຮາດູ j ທີ່ພັດງານ E_θ, E_i ຕາມລັດັບ

ແລະ

$\varphi_\theta, \varphi_1$ ດີວ່າ ມູນຕາກະທົບແລະມູນເປົ່າງຮັງສືເຮືອງແລ້ງທີ່ຍື່ງກັບພິວໜ້າສາຣັ້າວ່າງ

Copyright © by Chiang Mai University
All rights reserved

สมการ(1) เป็นสมการแม่บ้านที่ใช้ในการวิเคราะห์ความเข้มข้นธาตุในสารตัวอย่าง ความเข้มรังสีเอกซ์เรืองแสงพลังงานเฉพาะตัว I_i ได้จากการตรวจวัด นร_i (E_i) ค่าโนณฑาร่าง McMaster(1969) Q_i ได้จากการตรวจวัดสารมาตราฐาน แต่อย่างไรก็ตาม สมการ(1) มีความยุ่งยากในทางปฏิบัติคือ การต้องของสารตัวอย่างที่มีองค์ประกอบบางส่วนเป็นธาตุเน่า หรือที่เรียกว่า dark matrix รังสีเอกซ์เฉพาะตัวไม่สามารถตรวจวัดได้ ทำให้การวิเคราะห์เชิงคณิตศาสตร์ไม่สามารถกรายทำได้ เพราะมีจำนวนตัวแปรหรือความเข้มข้นธาตุมากกว่าจำนวนสมการ

การแก้ไขปัญหาดังกล่าวแนวทางหนึ่งที่ถูกนิยมเสนอคือ การนิรังสีกราฟเจิง ซึ่งมีความลับพันธ์ กับองค์ประกอบของสารตัวอย่างช่วยในการวิเคราะห์สารตัวอย่าง

2.1 การกราฟเจิงของรังสีเอกซ์

รังสีเอกซ์ที่มีพลังงานมากพอเมื่อตกกระทบสารตัวอย่าง นอกจากระบุกตู้ดกลืนเนื่องจากปราภูมิการณ์ไฟโตอิเล็กตริก เกิดรังสีเอกซ์เรืองแสงพลังงานเฉพาะตัวแล้วยังมี อันตรกิริยากับอิเล็กตรอนในอะตอมของธาตุในสารตัวอย่าง แล้วเกิดการกราฟเจิงของรังสี

การกราฟเจิงของรังสีแบ่งออกได้เป็น 2 แบบคือ การกราฟเจิงแบบโค希เรนท์ หรือเรียกว่า (Coherent หรือ Rayleigh scattering) ซึ่งพลังงานของรังสีกราฟเจิงจะมีค่าเท่ากับพลังงานของรังสีตกกระทบ และการกราฟเจิงแบบอินโค希เรนท์หรือคอมป์ตัน (Incoherent หรือ Compton scattering) ซึ่งพลังงานของรังสีกราฟเจิงมีค่าต่ำน้อยกว่าพลังงานของรังสีตกกระทบ

ความเข้มของรังสีกราฟเจิงทั้งสองแบบขึ้นอยู่กับพลังงานของรังสีเอกซ์ที่ตกกระทบ ชนิดของธาตุและมุมกราฟเจิง J. H. Hubbell et al(1975) ได้ศึกษาและรวมรวมข้อมูลเกี่ยวกับรังสีกราฟเจิงไว้ในตารางที่เรียกว่า Hubbell data

2.1.1 การกระเจิงแบบโคสีเรนท์

เป็นที่ทราบกันตั่วๆไปว่า Differential cross-section ของการกระเจิงแบบโคสีเรนท์ จากอัตราณัณ์ มีสูตรว่า

$$\frac{d\sigma_{coh}}{d\Omega} = \frac{1}{2} r_e^2 [F(x, Z)]^2 (1 + \cos^2 \phi) \quad (2)$$

เมื่อ

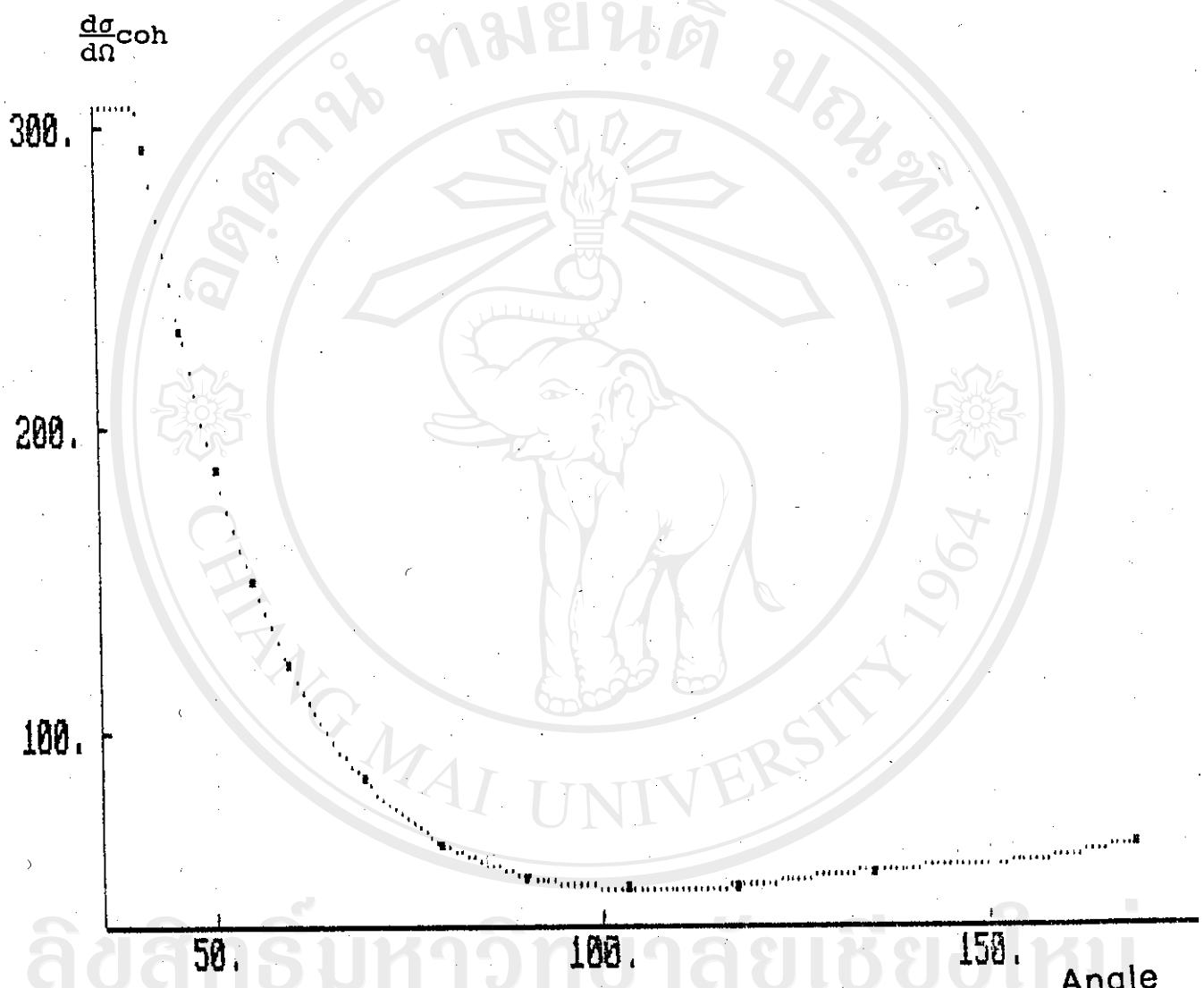
r_e คือ classical electron radius ($r_e^2 = 7.94 \times 10^{-26} \text{ cm}^2$)
 Ω คือ มุมตัน (solid angle)

ปริมาณ differential cross-section ของการกระเจิงแบบโคสีเรนท์ แบ่งตามฟังก์ชัน $F(x, Z)$ ที่เรียกว่า atomic form factor โดยเป็นสัดส่วนกับ $[F(x, Z)]^2$ ซึ่งขึ้นกับขนาดเลขอะตอมของธาตุ (Z) ในสารตัวอย่าง และปริมาณ x เมื่อ x มีความสัมพันธ์กับมุมกระเจิง ϕ และความยาวคลื่น λ ตามสมการ

$$x = \frac{\sin(\phi/2)}{\lambda} \quad (3)$$

เนื่องจากชุดการทดลองที่ใช้ในการวิจัยครั้งนี้ ได้อาศัยรังสีเอกซ์เฉพาะตัวของธาตุ Mo เป็นรังสีตัวรอง (secondary target) โดยมีมุมกระเจิงเท่ากับ 90° ดังนั้น ค่า differential cross-section ที่เกี่ยวข้องจึงอาศัยการ interpolation จากตารางข้อมูลของ Hubbell โดยการพิจารณาด้วย Legendre polynomial

สำหรับตัวอย่างการพิจารณา differential cross-section ของธาตุ แสดงดังตัวอย่างที่ 2.1



รูปที่ 2.1 ตัวอย่างแสดงการฟิตและ interpolate ที่มุมกราฟเจิง 90°

ของ Coherent differential cross-section ของธาตุ Cu
พลังงานของรังสีเอกซ์เท่ากับ 17.44 keV

Copyright © by Chiang Mai University
All rights reserved

ในทางปฏิบัติ ค่าที่นิยมใช้ในการศึกษาเรังสีกระเจิงทางกฤษฎีคือ ค่าสัมประสิทธิ์การกระเจิงเชิงมวล (mass scattering coefficient) ซึ่งได้จากการคูณ differential cross-section ด้วยอัตราส่วนระหว่างเลขอะไวกาหารกับมวลอะตอมของธาตุ ดังสมการ

$$\mu_i^{\text{coh}} = \left(\frac{d\sigma}{d\Omega} \right)_{\text{coh}} \cdot \frac{N_0}{M_i} \quad (4)$$

เมื่อ

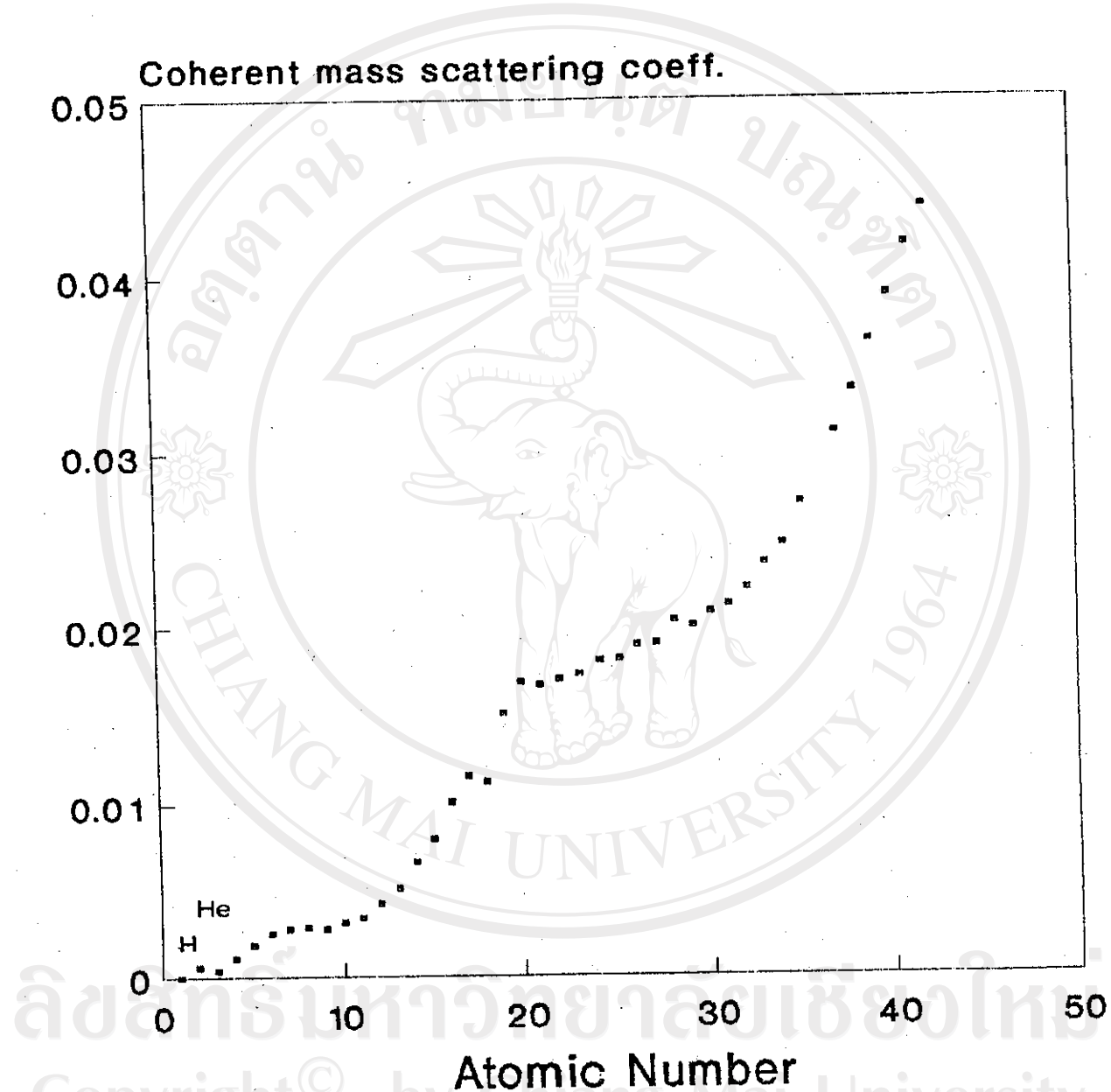
μ_i^{coh} คือ Coherent mass scattering coefficient ของธาตุ i

N_0 คือ Avogadro number ($N_0 = 6.02 \times 10^{23}$ atoms/mole)

M_i คือ atomic mass ของธาตุ i

ผลการพิจารณา differential cross-section แล้วค่านวณสัมประสิทธิ์การกระเจิงเชิงมวลแบบโค希เทนท์ (Coherent mass scattering coefficient) ของธาตุ แสดงดังรูปที่ 2.2

Copyright[©] by Chiang Mai University
All rights reserved



รูปที่ 2.2 กราฟแสดงความสัมพันธ์ระหว่างสัมประสิทธิ์การกระเจิงเชิงมวลแบบโคเซ็นท์ กับเลขอะตอม(Z)ของธาตุ พลังงานของรังสีเอกซ์เท่ากับ 17.44 keV

Copyright © by Chiang Mai University All Right Reserved

2.1.2 การกระเจิงแบบอินโค希เรนท์

การกระเจิงแบบอินโค希เรนท์ พลังงานของรังสีกระเจิงแบบอินโค希เรนท์มีความสัมพันธ์กับพลังงานต่ำกระทบ E_0 และมุมกระเจิง ϕ ดังสมการ

$$E_{\text{inc}} = \frac{E_0}{1 + \frac{E_0}{511} (1 + \cos \phi)} \quad (5)$$

511

ส่วน differential cross-section ของการกระเจิงแบบอินโค希เรนท์จากอัตราส่วนมีค่าตามสมการ

$$\frac{d \sigma_{\text{inc}}}{d\Omega} = \frac{1}{2} r_e^2 S(x, Z) H(\alpha, \phi) \quad (6)$$

differential cross-section ของการกระเจิงแบบอินโค希เรนท์แบบตามผังกั้น $S(x, Z)$ ที่เรียกว่า Incoherent scattering function ขึ้นกับขนาดของเลขอัตราส่วน (Z) และปริมาณ x เช่นเดียวกับการกระเจิงแบบโค希เรนท์ (สมการ(3)) $H(\alpha, \phi)$ มีความสัมพันธ์กับพลังงานต่ำกระทบ E_0 และมุมกระเจิง ϕ ตามสมการ

$$H(\alpha, \phi) = \left[1 + \alpha(1 - \cos \phi) \right]^{-2} \left[1 + \cos^2 \phi + \frac{\alpha^2 (1 - \cos \phi)^2}{1 + \alpha(1 + \cos \phi)} \right] \quad (7)$$

เนื้อ

$$\alpha = \frac{hv}{m_0 c^2} = \frac{E_0}{511} \text{ (keV)} \quad (8)$$

ในท่านองเดียวกันกับกรณีเงื่อนไขของการกระเจิงแบบโคชีเรนท์ ค่า differential cross-section ของการกระเจิงแบบอินโคชีเรนท์ ที่จะนำไปใช้ศึกษาต้องอาศัยการ interpolation ที่มุ่งกระเจิงเท่ากับ 90° จากตารางข้อมูลของ Hubbell

และค่าสัมประสิทธิ์การกระเจิงเชิงมวลของกาражรเจิงแบบอินโคชีเรนท์ มีความสัมพันธ์กับ differential cross-section ตามสมการ

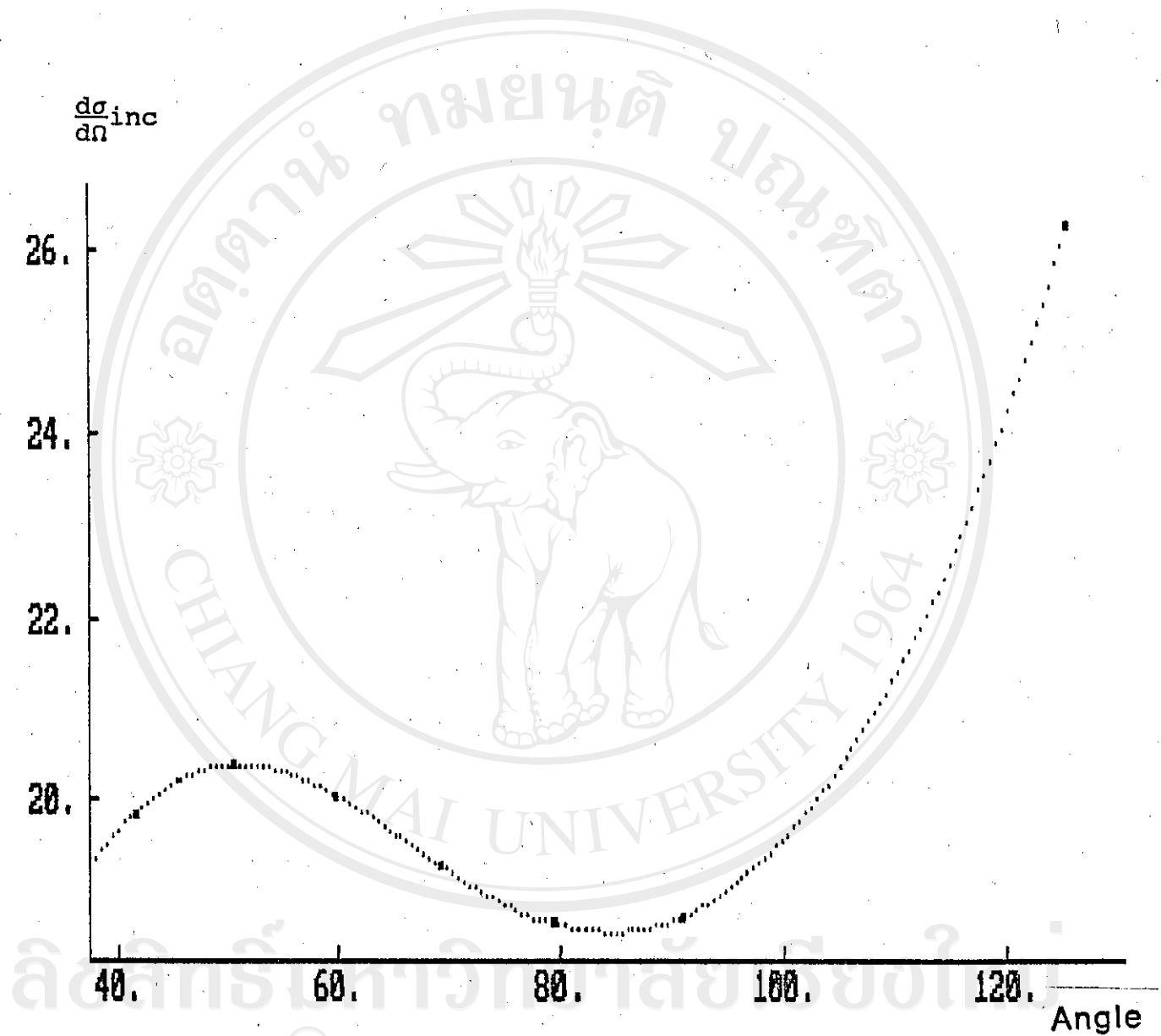
$$\mu_i^{inc} = \left(\frac{d\sigma}{d\Omega} \right)_{inc} \cdot \frac{N_\theta}{M_i} \quad (9)$$

เมื่อ

μ_i^{inc} คือ Incoherent mass scattering coefficient ของธาตุ i

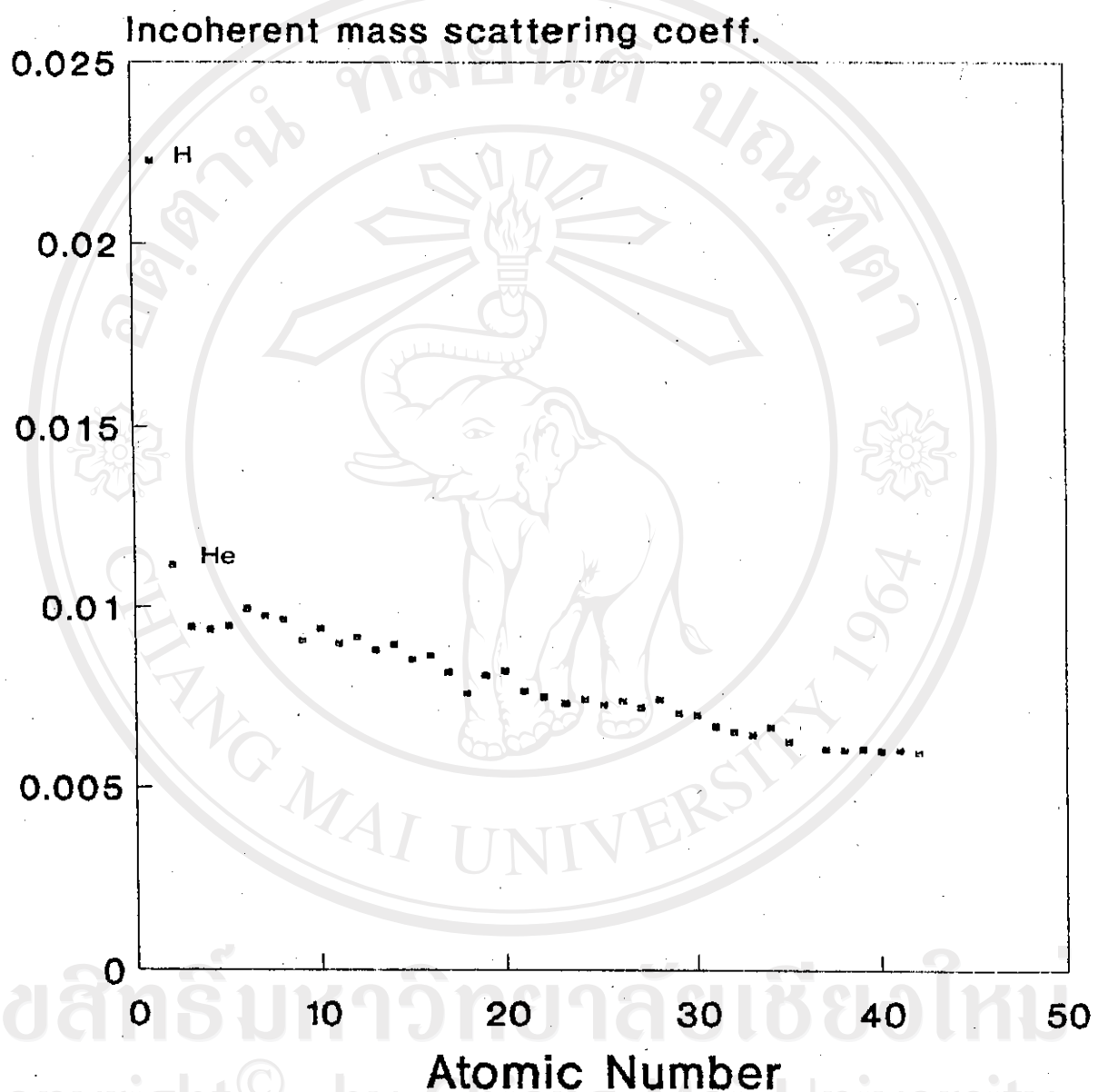
ตัวอย่างการพิจารณา differential cross-section ของธาตุ ด้วย Legendre polynomial และดังรูปที่ 2.3 ส่วนรูปที่ 2.4 แสดงความสัมพันธ์ระหว่างสัมประสิทธิ์การกระเจิงเชิงมวลแบบอินโคชีเรนท์กับผลของการตัดของธาตุต่างๆ ที่ได้จากการคำนวณตามสมการ (9)

ลิขสิทธิ์มหาวิทยาลัยเชียงใหม่
Copyright © by Chiang Mai University
All rights reserved



Copyright © by Chiang Mai University
All Rights Reserved

รูปที่ 2.3 ตัวอย่างแสดงการฟิตและ interpolate ที่มุมกระเจิง 90°
ของ Incoherent differential cross-section ของธาตุ Cu
พลังงานของรังสีเอกซ์เท่ากับ 17.44 keV



รูปที่ 2.4 กราฟแสดงความสัมพันธ์ระหว่างสัมประสิทธิ์การกระเจิงเชิงมวลแบบอินโคหีนเรนท์ กับเลขอะตอม(Z)ของธาตุ พลังงานของรังสีเอกซ์เท่ากับ 17.44 keV

Copyright © by Chiang Mai University
All rights reserved

2.1.3 ความเข้มรังสีภาระเจิง

ความเข้มรังสีภาระเจิงแบบโคลีเรนท์ I_{coh} และความเข้มรังสีภาระเจิงแบบอินโคลีเรนท์ I_{inc} มีความสัมพันธ์กับสัมประสิทธิ์การภาระเจิงเชิงมวลและสัมประสิทธิ์การดูดกลืนเชิงมวลของสารตัวอย่าง ดังสมการ

$$I_{coh} = Q_{coh} \cdot \frac{\mu_s^{coh}}{\mu_s^*(E_{coh})} \quad (10)$$

และ

$$I_{inc} = Q_{inc} \cdot \frac{\mu_s^{inc}}{\mu_s^*(E_{inc})} \quad (11)$$

เมื่อ

Q_{coh} คือ ค่าคงที่ของภาระเจิงแบบโคลีเรนท์

Q_{inc} คือ ค่าคงที่ของภาระเจิงแบบอินโคลีเรนท์

μ_s^{coh} คือ สัมประสิทธิ์การภาระเจิงเชิงมวลแบบโคลีเรนท์ของสารตัวอย่าง

μ_s^{inc} คือ สัมประสิทธิ์การภาระเจิงเชิงมวลแบบอินโคลีเรนท์ของสารตัวอย่าง

$$\mu_s^*(E_{coh}) = \mu_s(E_{coh}) \csc \varphi_0 + \mu_s(E_{coh}) \csc \varphi_1$$

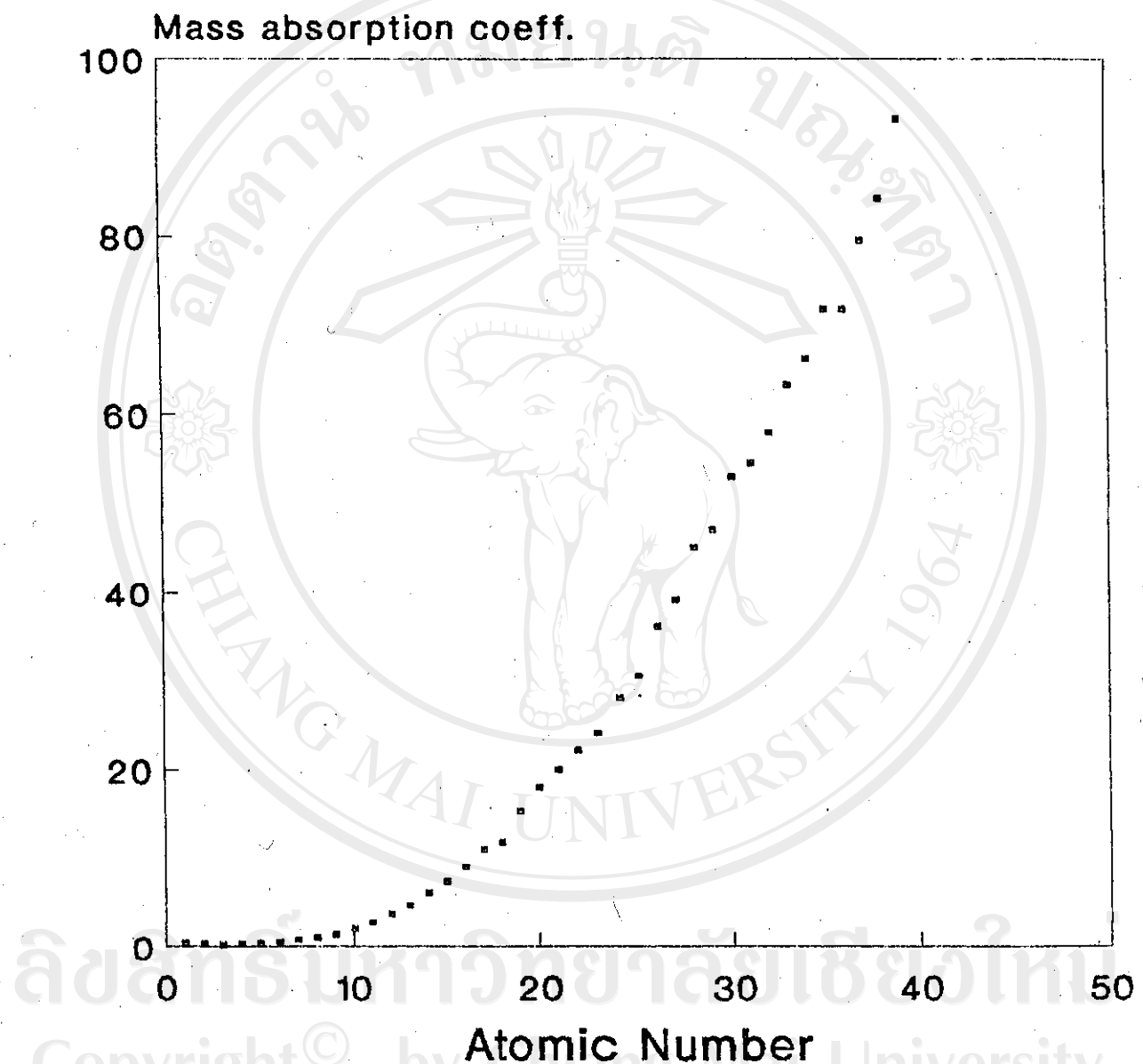
$$\mu_s^*(E_{inc}) = \mu_s(E_{coh}) \csc \varphi_0 + \mu_s(E_{inc}) \csc \varphi_1$$

Q_{coh} และ Q_{inc} เป็นค่าคงที่ซึ่งอยู่กับชุดภาระทดลองและความเข้มของรังสีตอกภาระทบทมสามารถหาได้จากการทดลอง โดยอาศัยการตรวจวัดสารตัวอย่างมาตรฐานที่ทราบองค์ประกอบ

2.2 การแทนสถาตุเบ้าด้วยสถาตุตัวแทน

ถ้า n แทนจำนวนสถาตุที่ตรวจรังสีเอกซ์เรื่องแสงพลังงานเฉพาะตัวได้ m แทนจำนวน dark matrix ในสารตัวอย่างแล้ว $n+m$ คือจำนวนสถาตุทั้งหมดของสารตัวอย่าง แต่จากสมการ (1), (10) และ(11) จะเห็นว่าในทางปฏิบัตินั้น มีจำนวนสมการที่เป็นไปได้มากที่สุดเพียง $n+2$ สมการ ในขณะที่มีจำนวนตัวแปรหรือค่า c_{ij} 's อยู่ $n+m$ ตัว ซึ่งมากกว่าจำนวนสมการ การวิเคราะห์เชิงคณิตศาสตร์จึงจะเป็นจะต้องจำกัดจำนวนตัวแปรให้น้อยลงเท่ากับจำนวนสมการ กล่าวคือ มีจำนวนตัวแปรเท่ากับ $n+2$ ตัว เช่นกัน ดังนั้นจึงกำหนดให้ dark matrix สามารถแทนได้ด้วยสถาตุเบ้าที่เหมาะสมเพียง 2 สถาตุ โดยมีเงื่อนไขว่าสถาตุตัวแทนตั้งกล่าวนี้จะต้อง มีคุณสมบัติ การดูดกลืนและการกราฟเจิงรังสีเอกซ์เหมือน dark matrix ดังเดิม

ความเป็นไปได้ของข้อสมมุติฐานดังกล่าว อาศัยหลักความจริงที่ว่าสัมประสิทธิ์การดูดกลืน เชิงมวลของสถาตุเบ้าไม่เปลี่ยนแปลงมากนักกับเลขอะตอม ดังรูปที่ 2.5 ในท่านองเดียวกับค่าสัมประสิทธิ์การกราฟเจิงเชิงมวลแบบอินโคอีเรนท์สมพันธ์กับเลขอะตอม(รูปที่ 2.4) แม้ว่าสัมประสิทธิ์การกราฟเจิงเชิงมวลแบบโคอีเรนท์จะไม่เป็นเช่นนั้น(รูปที่ 2.2) แต่อย่างไรก็ตามความเข้มรังสีกราฟเจิงแบบโคอีเรนท์ที่ได้มาจากสถาตุที่มีเลขอะตอมสูง



รูปที่ 2.5 กราฟแสดงความสัมพันธ์ระหว่างส่วนป恕ห์ซึ่งลึกของการดูดกลืนเชิงมวลกับ
เลขอะตอม(Z)ของธาตุ พลังงานรังสีเอกซ์เท่ากับ 17.44 keV

2.3 การวิเคราะห์

จากสมการ (1) เมื่อหารผลตัวย่อค่า Q_i และคูณผลตัวย่อค่า $\mu_i^*(E_i)$ จะได้ว่า

$$\frac{I_i \cdot \mu_i^*(E_i)}{Q_i} = R_i = C_i \cdot \frac{\mu_i^*(E_i)}{\mu_s^*(E_i)} \quad (12)$$

หรือ

$$C_i = R_i \cdot \frac{\mu_s^*(E_i)}{\mu_i^*(E_i)} \quad (13)$$

เงื่อนไข Normalization

กำหนดให้ $\sum_i C_i = 1$

หรือ

$$C_i + \sum_{j \neq i} C_j = 1$$

พิจารณา

$$\begin{aligned} \frac{\mu_s^*(E_i)}{\mu_i^*(E_i)} &= \sum_i C_i \frac{\mu_i^*(E_i)}{\mu_i^*(E_i)} \\ &= \frac{1}{\mu_i^*(E_i)} \left[C_i \mu_i^*(E_i) + \sum_{j \neq i} C_j \mu_j^*(E_i) \right] \end{aligned}$$

$$= C_i + \left(\frac{1}{\mu_i^*(E_i)} \right) \cdot \sum_{j \neq i} C_j \mu_j^*(E_i)$$

$$= \left(1 - \sum_{j \neq i} C_j \right) + \left(\frac{1}{\mu_i^*(E_i)} \right) \cdot \sum_{j \neq i} C_j \mu_j^*(E_i)$$

จึงได้

$$= \left(1 - \sum_{j \neq i} C_j \right) + \left(\frac{1}{\mu_i^*(E_i)} \right) \cdot \sum_{j \neq i} C_j \mu_j^*(E_i)$$

$$\begin{aligned}
 &= 1 + \sum_{j \neq i} \left[\frac{\mu_j^*(E_i) - 1}{\mu_i^*(E_i)} \right] C_j \\
 &= 1 + \sum_{j \neq i} \beta_{ij}(E_i) C_j
 \end{aligned}$$

เมื่อ

$$\beta_{ij}(E_i) = \frac{\mu_j^*(E_i) - 1}{\mu_i^*(E_i)}$$

แทนค่าในสมการ (13) จะได้

$$R_i = \frac{C_i}{1 + \sum_{j \neq i} \beta_{ij}(E_i) C_j} \quad (14)$$

ส่วนสมการ (10) และ (11) สามารถจัดเทอมใหม่ได้ว่า

$$\frac{I_{coh}}{Q_{coh}} = R_{coh} = \frac{\sum_j C_j \mu_j^{coh}(E_{coh})}{\sum_j C_j \mu_j^*(E_{coh})} \quad (15)$$

$$\frac{I_{inc}}{Q_{inc}} = R_{inc} = \frac{\sum_j C_j \mu_j^{inc}(E_{inc})}{\sum_j C_j \mu_j^*(E_{inc})} \quad (16)$$

เมื่อ

E_{coh} , E_{inc} คือ พลังงานไอดีเรนท์ และอินไอดีเรนท์ของ $Mo(K_\alpha)$ ตามลำดับ

และ

$$\mu_j^*(E_i) = \mu_j(E_\theta) \csc \varphi_\theta + \mu_j(E_i) \csc \varphi_i$$

$$\mu_j^*(E_{coh}) = \mu_j(E_{coh}) \csc \varphi_\theta + \mu_j(E_{coh}) \csc \varphi_i$$

$$\mu_j^*(E_{inc}) = \mu_j(E_{coh}) \csc \varphi_\theta + \mu_j(E_{inc}) \csc \varphi_i$$

กระจายสมการ (14) เพื่อเขียนในรูปของเมตริกซ์ โดยที่จำนวนธาตุในสารตัวอย่างประกอบด้วยธาตุที่ตรวจรังสีเอกซ์เรืองแสงได้ และ dark matrix นั้นคือ กำหนดให้มีจำนวน unknown เท่ากับ $n+1$ สมการ เพราะฉะนั้นจะได้ว่า

$$\begin{bmatrix} 1 & -R_1\beta_{12}(E_1) & -R_1\beta_{13}(E_1) & \dots & 0 \\ -R_2\beta_{21}(E_2) & 1 & -R_2\beta_{23}(E_2) & \dots & 0 \\ -R_3\beta_{31}(E_3) & -R_3\beta_{32}(E_3) & 1 & \dots & 0 \\ \vdots & \vdots & \vdots & \ddots & \vdots \\ -R_n\beta_{n1}(E_n) & -R_n\beta_{n2}(E_n) & -R_n\beta_{n3}(E_n) & \dots & 1 \\ 1 & 1 & 1 & \dots & 1 \end{bmatrix} \begin{bmatrix} C_1 \\ C_2 \\ C_3 \\ \vdots \\ C_n \\ C_{n+1} \end{bmatrix} = \begin{bmatrix} R_1 \\ R_2 \\ R_3 \\ \vdots \\ R_n \\ 1 \end{bmatrix} \quad (17)$$

Copyright © by Chiang Mai University
All rights reserved
เมื่อ

$$C_1 + C_2 + C_3 + \dots + C_n + C_{n+1} = 1$$

สมการ(17) เป็นสมการที่ใช้ในการทดลองสานหับการวิเคราะห์ความเข้มข้นของธาตุในสารตัวอย่าง โดยที่ c_1 ถึง c_n คือความเข้มข้นของธาตุที่ตรวจวัดรังสีเอกซ์เรืองแสงพลังงานเฉพาะตัวได้ c_{n+1} คือ ความเข้มข้นของ dark matrix ปริมาณ R_i , R_{coh} และ R_{inc} ได้จากการตรวจวัด สัมประสิทธิ์การดูดกลืนเชิงมวลค่านวน派จากตาราง McMaster สัมประสิทธิ์การกระเจิงเชิงมวลค่านวน派จากตารางข้อมูลของ Hubbell(หัวขอ 2.1.1 และ 2.1.2)

จากสมการ(17) ความเข้มข้นของ dark matrix จะถูกทดลองใช้คู่ธาตุตัวแทน 2 ธาตุที่มีสัดส่วนของแต่ละธาตุต่างกัน ที่ให้ผลการดูดกลืนและการกระเจิงรังสีสอดคล้องกับความเข้มข้นของรังสีกระเจิงที่ตรวจวัดได้เพื่อนำไปคำนวณความเข้มข้นของธาตุในสารตัวอย่างอีกด้วย โดยมุ่งที่จะสุดใช้การพิจารณาจาก least chi-square ตามสมการ

$$\chi^2 = \sum_{i=1}^{n+1} \frac{[R_{is} - R_{i0}]^2}{R_{i0}} \quad (18)$$

เมื่อ

R_{i0} คือ ค่าความเข้มรังสีที่ได้จากการตรวจวัด

R_{is} คือ ค่าความเข้มรังสีที่ได้จากการคำนวณ

Copyright © by Chiang Mai University
All rights reserved